

Но подынтегральное выражение согласно (14.4) представляет собой силу напряжения, приложенную к элементарной площадке  $dS$  (которая предполагается ориентированной соответственно ориентации всей поверхности  $S$ ). Поэтому в результате интегрирования мы получаем равнодействующую  $\mathbf{p}$  всех сил напряжения, приложенных к поверхности  $S$ . Таков смысл потока аффинора напряжений.

### § 18. Теорема Остроградского

Теорема Остроградского сводит вычисление потока векторного поля  $\mathbf{a}(M)$  через замкнутую поверхность  $S$ , ограничивающую некоторое пространственное тело  $\omega$ , к тройному интегралу по этому телу от дивергенции вектора  $\mathbf{a}$ :

$$\iint_S \mathbf{a} \mathbf{n} dS = \iiint_{\omega} \operatorname{div} \mathbf{a} d\omega. \quad (18.1)$$

Здесь  $d\omega$  обозначает элемент объема,  $\mathbf{n}$  — единичный вектор внешней нормали. Для доказательства удобно переписать (18.1) в координатной форме:

$$\iint_S (a_1 n_1 + a_2 n_2 + a_3 n_3) dS = \iiint_{\omega} \left( \frac{\partial a_1}{\partial x_1} + \frac{\partial a_2}{\partial x_2} + \frac{\partial a_3}{\partial x_3} \right) d\omega. \quad (18.2)$$

Мы докажем сначала формулу (18.2) в частном случае, когда  $a_1 = a_2 = 0$ . Тогда она принимает вид

$$\iint_S a_3 n_3 dS = \iiint_{\omega} \frac{\partial a_3}{\partial x_3} d\omega. \quad (18.3)$$

На время можно забыть, что  $a_3$  — координата вектора  $\mathbf{a}$ , а просто рассматривать ее как некоторую (непрерывно дифференцируемую) функцию от координат  $x_1, x_2, x_3$ .

Предположим сначала, что поверхность  $S$  такова, что каждая параллель оси  $X_3$  пробивает ее не более чем в двух точках. Для краткости будем называть поверхность  $S$  в этом случае *правильно расположенной*. Проектируя  $S$  на плоскость  $X_1 X_2$ , получим на последней некоторую область  $D$  (рис. 5). Проводя параллели оси  $X_3$  через

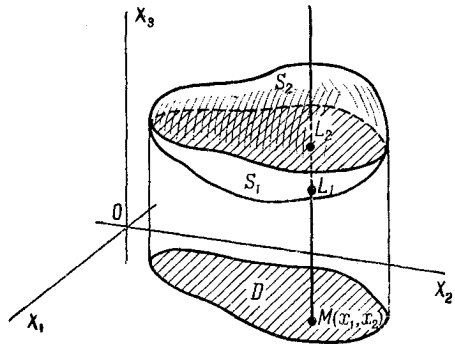


Рис. 5.

точки  $M(x_1, x_2)$  области  $D$ , мы отмечаем на каждой из них точки  $L_1, L_2$  пересечения с поверхностью  $S$ .

Пусть  $L_1$  расположена «ниже»  $L_2^*$ , т. е. обладает меньшей координатой  $x_3$ . Когда точка  $M$  описывает область  $D$ ,  $L_1$  описывает нижнюю часть поверхности  $S$ , которую обозначим  $S_1$ , а  $L_2$  — верхнюю часть, которую обозначим  $S_2$ . При этом и для  $L_1$ , и для  $L_2$  координата  $x_3$  меняется в зависимости от  $x_1, x_2$ :

$$\left. \begin{aligned} x_3 &= f_1(x_1, x_2) \quad (\text{для } L_1); \\ x_3 &= f_2(x_1, x_2) \quad (\text{для } L_2). \end{aligned} \right\} \quad (18.4)$$

Уравнения, которые мы записали, определяют, таким образом, соответственно поверхности  $S_1$  и  $S_2$ .

Функции  $f_1, f_2$  однозначны по определению и непрерывны, как можно вывести из наших общих предположений о характере поверхности  $S$  (§ 16).

Вычисляем теперь правую часть (18.3), производя сначала интегрирование по  $x_3$  при данных  $x_1, x_2$  от  $f_1$  до  $f_2$ , а затем интегрирование по  $x_1, x_2$  в пределах области  $D$ :

$$\begin{aligned} \iint_{\omega} \frac{\partial a_3}{\partial x_3} d\omega &= \iint_D \int_{f_1(x_1, x_2)}^{f_2(x_1, x_2)} \frac{\partial a_3}{\partial x_3} dx_3 dx_2 dx_1 = \\ &= \int_D \{a_3(x_1, x_2, f_2(x_1, x_2)) - a_3(x_1, x_2, f_1(x_1, x_2))\} dx_1 dx_2. \end{aligned} \quad (18.5)$$

С другой стороны, рассмотрим левую часть (18.3), разбивая ее на два интеграла — по  $S_1$  и по  $S_2$ :

$$\int_S a_3 n_3 dS = \int_{S_1} a_3 n_3 dS + \int_{S_2} a_3 n_3 dS. \quad (18.6)$$

Если функция  $x_3 = f_1(x_1, x_2)$  обладает непрерывными частными производными 1-го порядка, то для соответствующей поверхности  $S_1$  элемент площади  $dS$  и единичный нормальный вектор  $\mathbf{n}$  можно записать, как известно, в виде

$$dS = \sqrt{1 + \left(\frac{\partial f_1}{\partial x_1}\right)^2 + \left(\frac{\partial f_1}{\partial x_2}\right)^2} dx_1 dx_2, \quad (18.7)$$

$$\mathbf{n} = \frac{-\frac{\partial f_1}{\partial x_1} \mathbf{e}_1 - \frac{\partial f_1}{\partial x_2} \mathbf{e}_2 + \mathbf{e}_3}{\pm \sqrt{1 + \left(\frac{\partial f_1}{\partial x_1}\right)^2 + \left(\frac{\partial f_1}{\partial x_2}\right)^2}}. \quad (18.8)$$

\* ) Или в крайнем случае с ней совпадает (когда  $M$  лежит на границе области  $D$ ).

Знак  $\pm$  соответствует тому или другому выбору положительного направления на нормали.

Отсюда, в частности,

$$n_3 = \frac{1}{\pm \sqrt{1 + \left(\frac{\partial f_1}{\partial x_1}\right)^2 + \left(\frac{\partial f_1}{\partial x_2}\right)^2}}. \quad (18.9)$$

Так как  $S_1$  образует нижнюю границу рассматриваемого объема, то внешняя нормаль будет направлена «вниз» (т. е. в сторону убывания  $x_3$ ), и проекция  $n_3$  вектора  $\mathbf{n}$  на ось  $X_3$  будет отрицательной; в формуле (18.9) мы выбираем знак минус. Перемножая (18.7) и (18.9), получим:

$$n_3 dS = -dx_1 dx_2, \quad (18.10)$$

и следовательно,

$$\begin{aligned} \int_{S_1} a_3 n_3 dS &= - \int_{S_1} a_3 dx_1 dx_2 = \\ &= - \int_D a_3(x_1, x_2, f_1(x_1, x_2)) dx_1 dx_2. \end{aligned} \quad (18.11)$$

В последней записи мы свели интеграл по поверхности  $S_1$  к двойному интегралу по переменным  $x_1, x_2$ , которые пробегают область  $D$ , когда точка пробегает поверхность  $S_1$ . При этом пришлось уже явно указать, что  $a_3$  берется для точек поверхности  $S_1$ , т. е. аргументу  $x_3$  придается значение  $f_1(x_1, x_2)$ .

Совершенно аналогично мы поступаем с интегралом по  $S_2$  с той только разницей, что  $S_2$  ограничивает рассматриваемый объем сверху, вектор  $\mathbf{n}$  будет направлен «вверх» (в сторону возрастания  $x_3$ ), и в формуле (18.9) мы должны будем взять знак плюс. Соответственно и в формуле (18.10) знак — заменяется на +, и мы получаем:

$$\int_{S_2} a_3 n_3 dS = \int_D a_3(x_1, x_2, f_2(x_1, x_2)) dx_1 dx_2. \quad (18.12)$$

Две последние формулы позволяют переписать (18.6) в виде

$$\begin{aligned} \int_S a_3 n_3 dS &= - \int_D a_3(x_1, x_2, f_1(x_1, x_2)) dx_1 dx_2 + \\ &+ \int_D a_3(x_1, x_2, f_2(x_1, x_2)) dx_1 dx_2. \end{aligned}$$

Сравнивая это выражение с (18.5), убеждаемся в справедливости формулы (18.3), которую нам и требовалось доказать.

При доказательстве мы предположили, что  $f_1(x_1, x_2)$  (и аналогично  $f_2(x_1, x_2)$ ) имеют непрерывные частные производные. В действительности это не везде соблюдается, так как поверхность  $S$ , вообще говоря, лишь кусочно гладкая и, кроме того, на ней могут встречаться точки, особенно по линии соединения  $S_1$  и  $S_2$ , в которых касательная плоскость параллельна оси  $X_3$ .

В таком случае доказательство равенства (18.12) (и аналогично (18.11)) следует видоизменить: сначала это равенство устанавливается для отдельных гладких кусков  $S_2^{(i)}$  поверхности  $S_2$  и соответствующих кусков  $D^{(i)}$  области  $D$ , откуда почленным сложением приходим к равенству (18.12). При доказательстве равенства для отдельного гладкого куска  $S_2^{(i)}$  мы относим его к параметрам  $u_1, u_2$ , причем текущие координаты  $x_1, x_2, x_3$  являются функциями  $u_1, u_2$  с непрерывными частными производными 1-го порядка.

Из дифференциальной геометрии известно, что тогда

$$\left. \begin{aligned} dS &= \sqrt{EG - F^2} du_1 du_2, \\ n_3 &= \pm \frac{1}{\sqrt{EG - F^2}} \cdot \frac{\partial(x_1, x_2)}{\partial(u_1, u_2)}, \end{aligned} \right\} \quad (18.13)$$

где

$$\frac{\partial(x_1, x_2)}{\partial(u_1, u_2)} = \begin{vmatrix} \frac{\partial x_1}{\partial u_1} & \frac{\partial x_2}{\partial u_1} \\ \frac{\partial x_1}{\partial u_2} & \frac{\partial x_2}{\partial u_2} \end{vmatrix}^*.$$

В случае  $S_2$  мы берем  $n_3$  положительным, вернее неотрицательным, так как  $n_3 = 0$  в точках, где касательная плоскость параллельна оси  $X_2$ . Следовательно,

$$n_3 = \frac{1}{\sqrt{EG - F^2}} \left| \frac{\partial(x_1, x_2)}{\partial(u_1, u_2)} \right|, \quad (18.14)$$

а значит,

$$n_3 dS = \left| \frac{\partial(x_1, x_2)}{\partial(u_1, u_2)} \right| du_1 du_2. \quad (18.15)$$

Отсюда

$$\int_{S_2^{(i)}} a_3 n_3 dS = \int_{S_2^{(i)}} a_3 \left| \frac{\partial(x_1, x_2)}{\partial(u_1, u_2)} \right| du_1 du_2 = \int_{D^{(i)}} a_3 dx_1 dx_2.$$

Последний знак равенства поставлен на основании формулы преобразования переменных под знаком двойного интеграла. Этим

\*) См., например, П. К. Рашевский, Курс дифференциальной геометрии, изд. 3-е, Гостехиздат, М.—Л., 1950, формулы (338), (350) и (360).

равенство (18.12) доказано для отдельных кусков  $S_2^{(i)}$ , а значит, и для  $S_2$ .

Аналогично поступаем с  $S_1$  и его гладкими кусками  $S_1^{(i)}$  с той лишь разницей, что в формуле (18.14), а значит, и в формуле (18.15), в правой части добавляется знак минус, и мы приходим к (18.11).

Итак, формула (18.3) у нас доказана, правда, пока только для «правильно расположенных» поверхностей  $S$ . Но она будет верна и для произвольной замкнутой поверхности  $S$ , ограничивающей некоторое пространственное тело  $\omega$ . В самом деле, это тело всегда можно разбить на куски  $\omega_i$  таким образом, чтобы ограничивающие их поверхности  $S_i$  были «правильно расположенными» (не вдаваясь в подробности, будем считать это наглядно очевидным; см. рис. 6). В таком случае мы выписываем формулу (18.3) по отдельности для каждого куска

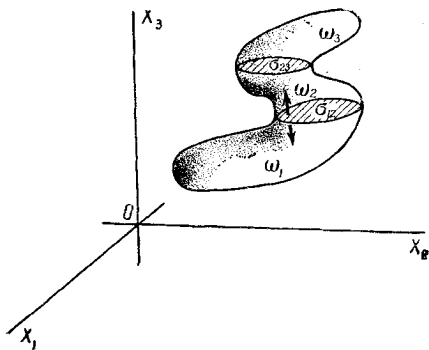


Рис. 6.

$$\iint_{S_i} a_3 n_3 dS = \iiint_{\omega_i} \frac{\partial a_3}{\partial x_3} d\omega \quad (18.16)$$

и все эти формулы складываем почленно. В правой части сумма интегралов по телам  $\omega_i$  даст соответствующий интеграл по  $\omega$ , а в левой части сумма интегралов по поверхностям  $S_i$  даст интеграл по поверхности  $S$ . В самом деле, интегралы по дополнительным поверхностям, рассекающим тело  $\omega$ , берутся по два раза с противоположными знаками и в сумме уничтожаются. Так, например, интеграл по поверхности  $\sigma_{12}$  войдет, во-первых, в состав интеграла по поверхности  $S_1$ , ограничивающей тело  $\omega_1$ , и, во-вторых, в состав интеграла по поверхности  $S_2$ , ограничивающей тело  $\omega_2$ . Так как тела  $\omega_1$  и  $\omega_2$  примыкают к  $\sigma_{12}$  с противоположных сторон, то внешние нормали к  $\sigma_{12}$  будут направлены в том и другом случае в противоположные стороны, так что вектор  $\mathbf{n}$  меняет направление на обратное, а его проекция  $n_3$  меняет знак. Но вместе с  $n_3$  меняет знак и интеграл  $\iint_{\sigma_{12}} a_3 n_3 dS$ .

Итак, формула (18.3) доказана окончательно. Но ввиду полного равноправия координатных осей она будет верна и с заменой 3-го индекса на 1-й или 2-й. Складывая все три формулы почленно,

получаем равенство (18.2), а следовательно, и (18.1). Доказательство закончено.

Рассмотрим еще поток аффинорного поля  $\mathfrak{A}$  через замкнутую поверхность  $S$ . Пользуясь координатной записью (17.2), получим:

$$\begin{aligned} p_i &= \iint_S (a_{i1}n_1 + a_{i2}n_2 + a_{i3}n_3) dS = \\ &= \iiint_{\omega} \left( \frac{\partial a_{i1}}{\partial x_1} + \frac{\partial a_{i2}}{\partial x_2} + \frac{\partial a_{i3}}{\partial x_3} \right) d\omega. \end{aligned} \quad (18.17)$$

Последнее выражение получено на основании формулы (18.2). Введем понятие *дивергенции аффинорного поля*, а именно, сопоставим аффинорному полю  $\mathfrak{A}$  векторное поле  $\overrightarrow{\text{div}} \mathfrak{A}$ , определив координаты вектора  $\overrightarrow{\text{div}} \mathfrak{A}$  формулами:

$$\{\overrightarrow{\text{div}} \mathfrak{A}\}_i = \sum_j \frac{\partial a_{ij}}{\partial x^j} = \sum_j \nabla_j a_{ij}. \quad (18.18)$$

Мы видим, что координаты вектора  $\overrightarrow{\text{div}} \mathfrak{A}$  образуют одновалентный тензор, полученный свертыванием тензора  $\nabla_k a_{ij}$  по 1-му и 3-му индексам; следовательно, вектор  $\overrightarrow{\text{div}} \mathfrak{A}$  будет в каждой точке вполне определенным (не зависит от выбора координатной системы, в которой вычисляются его координаты; см. § 1).

Теперь (18.17) можно переписать в виде

$$p_i = \iiint_{\omega} \{\overrightarrow{\text{div}} \mathfrak{A}\}_i d\omega,$$

или, что то же,

$$\mathbf{p} = \iiint_{\omega} \overrightarrow{\text{div}} \mathfrak{A} d\omega. \quad (18.19)$$

Записав  $\mathbf{p}$  в развернутом виде согласно (17.1), получим окончательно

$$\iint_S \mathfrak{A} \mathbf{n} dS = \iiint_{\omega} \overrightarrow{\text{div}} \mathfrak{A} d\omega. \quad (18.20)$$

Мы получили теорему Остроградского для потока аффинора через замкнутую поверхность.